

5. Сахненко В.П., Таланов В.М., Чечин Г.М. // Физика металлов и металловедение. – 1986. – Т. 62, Вып. 5. – С. 847.

6. Ковалев О.В. Неприводимые представления пространственных групп. – Киев: Издательство АН УССР. – 155 с.

7. Stokes H.T., Hatch D.M. Isotropy Subgroup of the 230 Crystallographic Space Groups. – World-Scientific. – Singapore, 1988.

**ТЕРМОДИНАМИЧЕСКАЯ  
МОДЕЛЬ ФАЗОВОГО ПЕРЕХОДА  
FD3M → R4<sub>1</sub>2<sub>1</sub>2 В ТИТАНИТЕ  
МАГНИЯ**

**<sup>1</sup>Таланов В.М., <sup>2</sup>Широков В.Б.,  
<sup>1</sup>Иванов В.В., <sup>3</sup>М.В. Таланов**

<sup>1</sup>Южно-Российский государственный  
технический университет  
(Новочеркасский политехнический  
институт);

<sup>2</sup>Южный научный центр Российской  
академии наук;

<sup>3</sup>Южный федеральный университет,  
e-mail: valtalanov@mail.ru

Феноменологическая термодинамическая  
модель фазовых переходов, описываемых

многокомпонентными параметрами порядка, должна быть построена с учетом устойчивости потенциала [1, 2]. Под устойчивостью понимается неизменность ответов модели при появлении малых внешних возмущений. Малые возмущения должны приводить только к небольшим количественным изменениям, не изменяя фазы и топологию фазовой диаграммы. Исследование на устойчивость проводится локально [2-4] вблизи точки потери устойчивости, которая в феноменологической теории определяется, как минимум, равенством нулю коэффициента при квадрате параметра порядка [5]. Для шестикомпонентного ПП, связанного с неприводимым представлением  $Fd3m(O_h^7) - k_{10}(\tau_4)$ , требование устойчивости приводит к потенциалу шестой степени. Так как фазовый переход из высокосимметричной фазы в низкосимметричную второго рода [6], то коэффициент при квадрате квадрата параметра порядка должен быть положительным. Его можно считать не варьируемым параметром.

Рассмотрим мультикритическую точку, определяемую равенством нулю одновременно двух констант – при квадрате параметра порядка и при одном из анизотропных инвариантов в четвертой степени. Устойчивый потенциал имеет вид

$$F = a_1 J_1 + a_2 J_1^2 + b_2 J_2 + b_3 J_3 + b_4 J_4 + a_3 J_1^3 + c_{12} J_1 J_2 + c_{14} J_1 J_4 + d_5 J_5 + d_6 J_6 + d_7 J_7 + d_8 J_8. \quad (1)$$

Потенциал (1) устойчив в окрестности  $b$  и в самой точке  $a_1 = 0, b_2 = 0$ . В (1) отсутствует слагаемое шестой степени  $J_1 J_3$ , которое вбли-

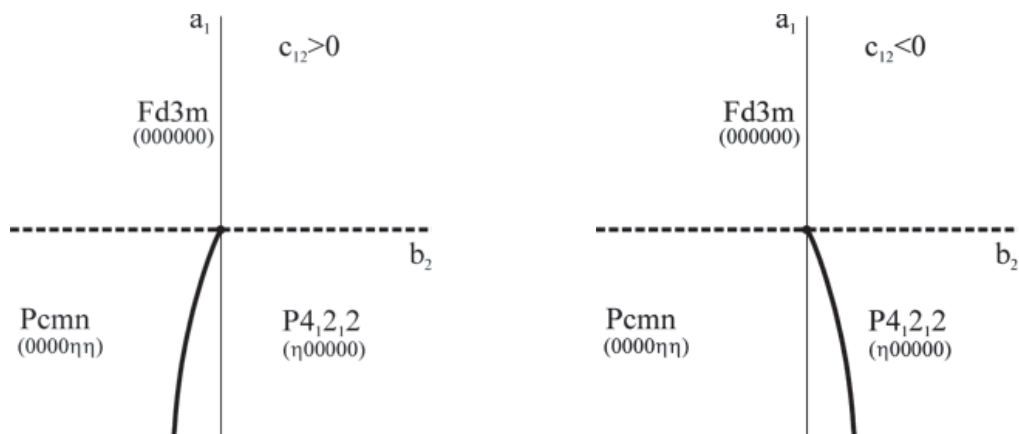
зи точки  $a_1 = 0, b_2 = 0$  можно «устранить» при помощи нелинейной замены [1]. Инварианты в (1) есть

$$\begin{aligned} J_1 &= \eta_1^2 + \eta_2^2 + \eta_3^2 + \eta_4^2 + \eta_5^2 + \eta_6^2, \\ J_2 &= \eta_1^2 \eta_2^2 + \eta_3^2 \eta_4^2 + \eta_5^2 \eta_6^2, \\ J_3 &= \eta_1^2 \eta_3^2 + \eta_1^2 \eta_5^2 + \eta_2^2 \eta_4^2 + \eta_2^2 \eta_6^2 + \eta_3^2 \eta_5^2 + \eta_4^2 \eta_6^2, \\ J_4 &= \eta_1^2 \eta_4^2 + \eta_1^2 \eta_6^2 + \eta_2^2 \eta_3^2 + \eta_2^2 \eta_5^2 + \eta_3^2 \eta_6^2 + \eta_4^2 \eta_5^2, \\ J_5 &= \eta_1^2 \eta_2^2 \eta_3^2 + \eta_1^2 \eta_2^2 \eta_4^2 + \eta_1^2 \eta_2^2 \eta_5^2 + \eta_1^2 \eta_2^2 \eta_6^2 + \eta_1^2 \eta_3^2 \eta_4^2 + \eta_1^2 \eta_5^2 \eta_6^2 + \\ &+ \eta_2^2 \eta_3^2 \eta_4^2 + \eta_2^2 \eta_5^2 \eta_6^2 + \eta_3^2 \eta_4^2 \eta_5^2 + \eta_3^2 \eta_4^2 \eta_6^2 + \eta_3^2 \eta_5^2 \eta_6^2 + \eta_4^2 \eta_5^2 \eta_6^2, \\ J_6 &= \eta_1^2 \eta_3^2 \eta_5^2 + \eta_2^2 \eta_4^2 \eta_6^2, \\ J_7 &= \eta_1^2 \eta_3^2 \eta_6^2 + \eta_1^2 \eta_4^2 \eta_5^2 + \eta_1^2 \eta_4^2 \eta_6^2 + \eta_2^2 \eta_3^2 \eta_5^2 + \eta_2^2 \eta_3^2 \eta_6^2 + \eta_2^2 \eta_4^2 \eta_5^2, \\ J_8 &= \eta_1 \eta_2 \eta_3 \eta_4 \eta_5 \eta_6. \end{aligned} \quad (2)$$

Эти инварианты составляют целый рациональный базис инвариантов до шестой степени включительно. Полный базис содержит 23 полинома, не превосходящих одиннадцатую степень.

Фазовая диаграмма для потенциала (1) в плоскости  $(a_1, b_2)$  приведена на рисунке

Все коэффициенты потенциала (1), не представленные на рисунке, положительны. Высоко-



Фазовые диаграммы, описываемые потенциалом (1). Пунктирная линия – линия переходов второго рода, сплошная – первого. На рисунке показан случай  $c_{12} > 0$

симметричная фаза на рисунке граничит с двумя низосимметричными фазами по линиям переходов второго рода, которые обозначены пунктирной линией. Между собой низкосимметричные фазы граничат по линии переходов первого рода (сплошная кривая на рисунке).

#### Список литературы

1. Прохоров А.М., Гуфан Ю.М., Ларин Е.С., Рудашевский Е.Г., Широков В.Б. // Доклады АН СССР. – 1984. – Т. 227. – С. 1369.
2. Кутьин Е.И., Лорман В.Л., Павлов С.В. // Успехи физических наук. – 1991. – Т. 161, №6. – С. 109.
3. Постон Т., Стюарт И. Теория катастроф и ее приложения. – М.: Мир. 1980. – 608 с.
4. Арнольд В.И., Варченко А.Н., Гусейн-Заде С.М. Особенности дифференцируемых отображений. – М.: Наука. 1982. – Т. 1.
5. Ландау Л.Д. К теории фазовых переходов I // Журнал теоретической и экспериментальной физики. – 1937. – Т.7. – С.19.
6. Schmidt M., Ratcliff W., Radaelli P.G., Refson K., Harrison N.M., Cheong S.W. // Phys. Rev. Lett. – 2004. – Vol. 92, №5. – P. 056402.

### СТРУКТУРНЫЙ МЕХАНИЗМ ФАЗОВОГО ПЕРЕХОДА FD3M → P4,2,2 В ТИТАНИТЕ МАГНИЯ

<sup>1</sup>Таланов В.М., <sup>2</sup>Широков В.Б.,  
<sup>1</sup>Иванов В.В., <sup>3</sup>М.В. Таланов

<sup>1</sup>Южно-Российский государственный  
технический университет

(Новочеркасский политехнический  
институт);

<sup>2</sup>Южный научный центр Российской  
академии наук;

<sup>3</sup>Южный федеральный университет,  
e-mail: valtalanov@mail.ru

К настоящему времени проведено детальное экспериментальное исследование структурных, электрических, магнитных, оптических свойств титаниста магния [1-6] и предложен ряд микроскопических моделей, объясняющих особенности его атомного и орбитального строения [1, 7-9]. В данной работе, опираясь на теоретико-групповые и термодинамические методы теории